doi:10.3969/j.issn.1005-3158.2011.06.014

低温有冰条件下吸油绳收油效率试验研究*

陈 宇' 曲 良' 张兆康' 宋 威' 高 祁' 王 东' 赵 彬' 禹精瑞' 李志军'

(1. 中海石油环保服务有限公司: 2. 大连理工大学海岸和近海工程国家重点实验室)

关键词 低温 冰区 溢油回收 吸油绳

中图分类号: X55 文献标识码: A 文章编号: 1005-3158(2011)06-0040-04

0 引 言

随着石油工业和海上石油开发的迅速发展,水上 石油运输日益繁忙,因海损、触礁、机械故障、人为操 作不当等导致的石油溢油事故也日益增多,特别是大 规模的溢油事故,其污染危害之严重,已为世人瞩 目[1]。溢油事故不仅会在短时间内造成大量资源流 失和经济损失,加重对生态环境的损害,还可能引发 次生灾害和国际纠纷[2-3]。渤海是我国重要的海上油 气生产基地,随着渤海海上石油运量逐渐增大,该海 区已成为溢油事故多发地区[4]。另外,渤海是北半球 结冰的南边缘,每年冬季存在三个月左右的冰期,在 冰区回收溢油面临许多困难[5],冰区溢油的监测、预 报、清理应引起重视[6]。发生溢油事故后,将启动溢 油应急清理措施,哪些技术能够高效清理和回收溢 油,取决于各种溢油回收设备的效率。对于渤海的环 境条件,不仅要认识各种设备在开敞水域的回收效 果,还要了解它们在低温水域和有冰条件下的表现。 2010 年中海石油环保服务有限公司与大连理工大学 合作对刷式、盘式、鼓式、抽吸式撇油器在冰区溢油回 收的效果进行了试验,取得初步成果[7-9]。文章对亲 油性绳式收油机中的吸油绳在低温水和有冰条件下 的收油效果展开试验。目的是认识吸油绳在低温水 域、冰下溢油或冰上溢油条件下,对低温一35 # 柴油、 原油的吸油性能,为渤海应急清理选择溢油清理方 法,并为发展新型吸油绳材料提供基础。

绳式收油机的核心部分是可漂浮在水面的亲油 材料形成的一闭合绳环,该绳环穿过收油机中弹性挤 压辊。吸油绳运行经过水面时吸附溢油,在通过收油机时绳上吸附的油被挤压辊挤出。它具有随波性好、回收效率高、受海面上一些杂物影响小、覆盖面积大、维护容易、造价低廉等优点,在各种溢油事故中被广泛使用[10]。

1 试 验

试验器材及材料:青岛光明 SS 绳式收油机,其工作原理如图 1 所示,吸油绳(直径 300 mm,长度 14 m)、水浴锅、HZQ-F160 震荡培养箱(有恒温功能)、渤西原油、一35 * 柴油、2 kg 电子称、温度计、若干量简和烧杯。



图 1 绳式收油机原理

1.1 不同长度吸油绳的收油效率

截取不同长度(10、15、20、25、30 cm)的吸油绳在相同的条件下进行试验。

1.1.1 轻质油(-35#柴油)试验

首先截取不同长度的吸油绳,用量程为 2 kg 的电子秤得到 $40 \text{ cm} \times 30 \text{ cm} \times 20 \text{ cm}$ 的长方塑料盆(1 号盆)的质量,再将吸油绳置于盆内称重,由此得到吸油绳质量。之后用冰箱冻出约 $30 \text{ cm} \times 20 \text{ cm} \times 1 \text{ cm}$

^{*}基金项目:中国海洋石油总公司技术发展项目(C/KJFETCY001-2009);加拿大政府加拿大研究专项奖(2009)

陈宇,2005 年毕业于天津大学生物化工专业,硕士,工程师,现在中海石油环保服务有限公司工作。通信地址:天津塘沽区渤海石油路 688 号,300452

的冰块,击碎成约 $10 \text{ cm} \times 5 \text{ cm} \times 1 \text{ cm}$ 的小冰块,备用。接着在 $50 \text{ cm} \times 40 \text{ cm} \times 28 \text{ cm}$ 的长方塑料盆(2号盆)内加入 15 cm 深的海水。将震荡培养箱的温度设置为 $2\mathbb{C}$,把盛有 15 cm 深海水的 2 号盆放在里面,开启震荡模式。

恒温3 h 后,测量海水温度为2℃。向恒温箱内 的 2 号盆中缓慢倒入 $1000 \text{ mL 轻质油}(-35^{\sharp} 柴油)$, 在水面形成 0.5 cm 的油膜。取出预先冻好的冰块轻 轻均匀放入 2 号盆内,约占总面积的一半。试验过程 中持续时间只有 2 min,且水温不高,可忽略该过程中 冰的融化。将预先量得质量的吸油绳放入2号盆内, 开启恒温箱内的震荡台,震荡频率约为50 Hz,持续时 间为2 min,中间手动轻轻翻滚吸油绳一次。之后将 吸油绳取出,在没有明显水滴、油滴下落时放到1号 盆中称重。随后将吸油绳吸附的油水混合物挤在1 号盆中。之后,将1号盆内的油水混合物置于量筒内 分液,依靠一35 # 柴油和海水的密度差,两者在量筒内 上下分离,读出各自所占的体积,由此可以得到吸油 绳内油和水的体积比,最后根据二者的密度比可以得 到吸油绳内油、水的质量比,从而计算出吸油绳吸附 油的质量。

$$M_{you} = \frac{M_{ys} \eta \rho_{you}}{\eta \rho_{you} + \rho_{hs}} \tag{1}$$

$$\alpha = \frac{M_{hs}}{M_{ys}}; \beta = \frac{M_{you}}{M_{s}}$$
 (2)

式中: ρ_{hs} 是海水密度,取 1. 025 g/cm³; ρ_{you} 是 -35 # 柴油密度,取 0. 85 g/cm³; M_{you} 是吸油绳中油的质量; M_{ys} 是油水混合物的质量; η 是油水体积比; α 是含水率; M_{hs} 是吸油绳内海水的质量; β 是收油效率; M_{s} 是吸油绳质量。

1.1.2 渤西原油试验

渤西原油的试验方法与之前的-35[‡] 柴油试验方法基本相似。不同的是,渤西原油黏性和凝点均较高,试验时原油黏成一团,需用勺子将所需的约 1 L 原油放到 1 L 的烧杯里,再把烧杯放到水浴锅中,将水浴锅调到 40 C 加热,经过约 40 min,原油融为液体,再向恒温过的海水中倒 1000 mL 原油,加 5 成冰。

除此之外,另一个主要区别是,由于渤西原油的高黏度和高凝点,原油倒入2号盆后会立即黏成团,因而原油和吸油绳的黏附也不同于一35 # 柴油,它会和吸油绳黏在一起,无法像一35 # 柴油一样把它挤下来,不能通过量筒分液来判断吸油绳回收的油水比

例。因此试验需先将沾有原油的吸油绳称重,然后放在室内晾干,除去吸附的水,再称重。

1.2 其他吸油绳试验

试验考虑了冰与油相对位置对试验的影响。另截取两段 10 cm 长的吸油绳,做以上类似试验,先加入 5 成冰,后加入 1000 mL 原油;然后反过来,先加油再加冰。先后在两种条件下以同样的速度拉着吸油绳在 2 号盆里来回走 2 min。之后取出称重,晾干,再称重。

试验还测试了极限状态下吸油绳的回收效果。 仍采用 10 cm 长的吸油绳,重复之前的操作,先加入 1000 mL 原油,再加入 5 成冰,之后用钳子夹着吸油 绳在 2 号盆里充分搅拌,取出称重,晾干再称重。

2 试验结果及分析

2.1 不同长度吸油绳的吸油结果

试验过程中如实记录试验数据,将其按照预先设计好的计算方法得到每种长度吸油绳回收一35[#] 柴油和原油的质量、收油效率以及含水率。试验结果如表1、表2所示。

表 1 吸油绳对 - 35 # 柴油的回收结果

| 4 | 黾长/ | | 分液时水 | 吸油质量/ | | |
|---|-----|-------|-------|-------|------|-------|
| | cm | 体积/mL | 体积/mL | g | % | % |
| | 10 | 76 | 22 | 124.8 | 26.3 | 108.0 |
| | 15 | 125 | 38 | 164.8 | 27.2 | 142.2 |
| | 20 | 80 | 48 | 124.2 | 42.6 | 101.1 |
| | 30 | 122 | 44 | 185.0 | 30.7 | 100.5 |

表 2 吸油绳对渤西原油的回收结果

| 绳长/ | 绳重/ | 油+水重/ | 水重/ | 油重/ | 含水率/ | 收油效率/ |
|-----|-------|-------|-------|------|------|-------|
| cm | g | g | g | g | % | 0/0 |
| 10 | 57.8 | 79.5 | 54.7 | 24.8 | 68.8 | 42.9 |
| 15 | 117.8 | 225.6 | 211.2 | 14.4 | 93.6 | 12.2 |
| 20 | 136.0 | 189.7 | 177.7 | 12.0 | 93.7 | 8.8 |
| 25 | 218.5 | 233.4 | 198.3 | 35.1 | 85.0 | 16.1 |
| 30 | 218.2 | 227.9 | 188.0 | 39.9 | 82.5 | 18.3 |

对试验中得到的吸油量、收油效率、含水率结果 进行分析。图 2~图 4 分别描述了吸油绳长度对吸油量、收油效率以及含水率的影响。

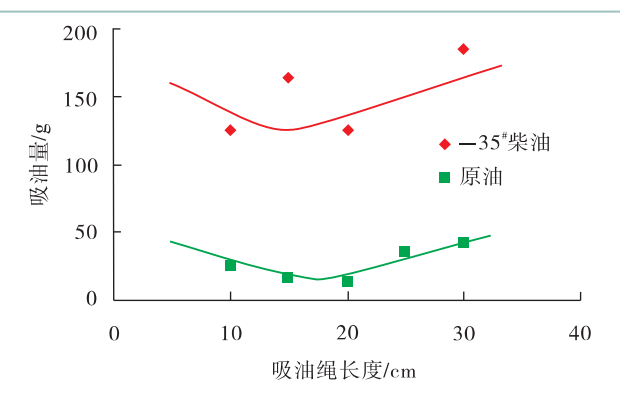


图 2 吸油量随吸油绳长度的变化

由图 2 可知,吸油绳对一35[#] 柴油的吸收明显好于对渤西原油的回收,渤西原油的回收量不到一35[#] 柴油的 1/3;对一35[#] 柴油和原油的回收都以 20 cm 长度为拐点,超过 20 cm 吸油量均呈现稳步递增的趋势,小于 20 cm 时呈现递减。这是由于在吸油绳长度特别短时,平放在水面上不稳定,容易侧翻,可看作圆盘状,造成与油品接触面比较大,相应的吸油量也会比较大;长度增加后,吸油绳逐渐平稳,但此时的侧面积比底面积小,所以会出现吸油量下降,随着吸油绳长度逐渐增加,其侧面积逐渐比底面积大,故呈现稳步增加的趋势。

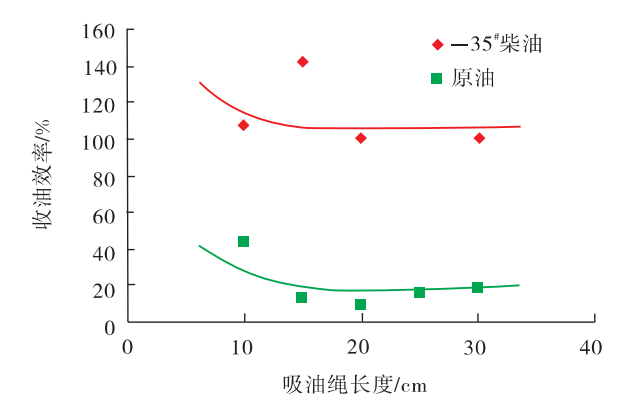


图 3 收油效率随吸油绳长度的变化

由图 3 可知,吸油绳对一35 # 柴油的回收效率大于对原油的效率,回收原油时的效率只占对一35 # 柴油回收时的 1/4 到 1/3。收油效率在长度小于 20 cm时,明显高过长度大于 20 cm时,这同样是因为吸油绳的端头容易发生侧翻,增大与水面的接触面积。而长度较长时,这种端头侧翻的效应在整体吸油过程中所占的比例很小,主要由侧面和水面接触,因此长度大于 20 cm时,收油效率比较稳定。实践中接触海面的吸油绳很长,回收原油时收油效率约为 20%,考虑到试验中使用的是新吸油绳,实践中吸油绳的重复使用可能导致收油效率的进一步下降。

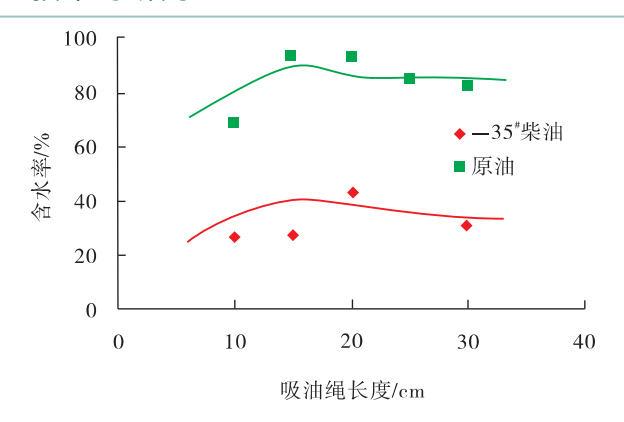


图 4 含水率随吸油绳长度的变化

由图 4 可知,吸油绳回收原油时的含水率明显高于-35[#] 柴油,约为 $60\%\sim95\%$,回收-35[#] 柴油时含水率约为 $20\%\sim45\%$ 。含水率变化不大,总体较平稳。当长度继续增加,-35[#] 柴油、原油的含水率分别稳定在约 30%和 85%。

以上分析均未考虑 25 cm 吸油绳对 -35^{\ddagger} 柴油的回收,原因是当在做 25 cm 吸油绳回收 -35^{\ddagger} 柴油的试验时,把吸油绳深按进水后,其吸油量很少,含水率高达 65%,收油效率约 50%,明显不如其他长度吸油绳的吸油效果,说明吸油绳的位置对吸油效果的影响很大。

2.2 其他试验

试验测试了油与海冰相对位置对回收的影响。试验中吸油绳以 0.09 m/s 的速度在液面上来回移动,记录试验数据,并计算出油和冰不同位置时吸油绳回收原油的质量、收油效率以及含水率,结果见表 3。

表 3 油与冰面相对位置的影响

| 状态 | 绳重/ | 油重/ | 水重/ | 含水率/ | 收油效率/ |
|-----------|------|-------|------|------|-------|
| 1/1/25 | g | g | g | % | % |
| 油在 冰面上 | 79.0 | 44.2 | 72.3 | 62.1 | 56.0 |
| 油在 冰面下 | 78.9 | 28. 2 | 56.7 | 66.8 | 35.7 |

油在冰面上时收油效率达到 56%,而当油在冰面下时仅有 35.7%,相差约 20%,同时前者含水率也相对较小,吸油绳与油品充分接触的试验结果见表 4。

表 4 极限收油试验结果

| 绳长/ | 绳重/ | 油重/ | 水重/ | 含水率/ | 收油效率/ |
|-----|------|------|-------|------|-------|
| cm | g | g | g | % | 0/0 |
| 10 | 81.4 | 67.4 | 111.3 | 62.3 | 82.8 |

由表 4 结果可知,10 cm 长的吸油绳在 5 成冰密

集度 0.5 cm 厚的油膜条件下,收油效率最高可达 82.8%,同时含水率为 62.3%。

3 结 论

- ◆同一35[‡] 柴油相比,吸油绳对高黏度高凝点原油的回收,不仅含水率高,且收油效率也显著下降,因此溢油黏度和凝点对吸油绳的回收影响很大,吸油绳不适合对高黏度、高凝点原油的回收。
- ◆吸油绳的长短会影响对原油的回收,在长度小于 20 cm 时表现突出,长度大于 20 cm 时,影响随长度增加而减小,收油效率、含水率分别稳定于约 20 %和 85 %。吸油绳的反复使用会使收油效率进一步下降。
- ◆ 吸油绳所处的水面位置也有很大影响,吸油绳漂 浮在表面时吸油效果最好,反之收油效率低且含水率 很高。
- ◆ 吸油绳对原油在冰区的回收受原油与冰相对位置的影响也不容忽视,溢油位于冰块下面时会降低回收效果,收油效率下降约 20 %。

参考文献

[1] 张银东,李文华,侯解民,等.面式大规模溢油回收技术研究[J].海洋环境科学,2007,26(3):286-289.

- [2] 李志军,王永学,邱大洪.开展渤海低水温和有冰海域溢油监测、预报、清理和管理技术的可行性分析[J].船舶工业技术经济信息,2001,9:45-48.
- [3] Ko J-Y, Day JW. A review of ecological impacts of oil and gas development on coastal ecosystems in the Mississippi Delta[J]. Ocean and Coastal Management, 2004, 47:597-623.
- [4] 蒋发林, 林建国. 有冰海区溢油清理技术及对策研究 [J]. 交通环保, 2004, 25(4):1-4.
- [5] 李志军. 论渤海海冰特点及冰区溢油清理的难度[J]. 中国海洋平台, 2000, 15(5): 20-23.
- [6] Faksness LG, Brandvik PJ, Daae RL, et al. Large-scale oil-in-ice experiment in the Barents Sea: monitoring of oil in water and MetOcean interactions [J]. Marine Pollution Bulletin, 2011, 62(5):976-984.
- [7] 陈宇,刘启斌,宋威,等.有冰条件下撇油器回收溢油速率试验研究[J].油气田环境保护,2011,21(1):27-29.
- [8] 陈宇,宋威,许军辉,等.渤海冰区溢油应侧重发展机械 清理技术[j].中国水运,2010,12:46.
- [9] 李嘉冰,陈宇,常婷.加拿大和中国水运溢油研究成果对比分析[J].中国水运,2011,11(2): 28-30.
- [10] 关福君.演习工具收油机[EB/OL]. http://news. sohu.com/20080827/n259233132. shtml, 2008-08-27.

(收稿日期 2011-07-01) (编辑 袁立凡)

(上接第 39 页)

地球物理调查技术主要用途是圈定 DNAPL 的污染范围,探测 DNAPL 的污染深度以及在土壤及地下水中的分布状况,是定性调查的技术手段。除了上述几种主要的地球物理调查技术以外,应用范围较小的还有复电阻率法、电磁波井内测法和氢质子磁振法等。

3 结束语

DNAPL目前已成为环境污染的主要污染物之一。文章阐明了其污染动力来源、污染机理、提出三条场地是否存在 DNAPL 污染的判定依据、介绍了DNAPL 的污染调查时相互补充的两大技术。随着科技的发展和对 DNAPL 认识的深入,其调查方法也会不断的更新发展,对获知土壤与地下水中污染的分布状况将有一定作用。

参考文献

中山大学,2002.

- [2] 习良孝,黄文彦,谢爵安,等.含氯系有机溶剂污染源区域整治问题探讨[J].台湾土壤及地下水环境保护协会简讯,2000,8:2-6.
- [3] Pankow. J. F. Cherry. Dense Chlorinated Solvents. Waterloo Press, Portland, OR, 1996.
- [4] 高霏,刘菲.三氯乙烯污染土壤和地下水污染源区的修复研究进展[J].地球科学进展,2008,8(23):821-824.
- [5] Standard Guide for Environmental Site Assessments: Phase II Environmental Site Assessment Process [S], E1903, American Society for Testing and Materials, West Conshohocken, PA. 1997.
- [6] Davis E. How heat can enhance in-situ soil and aquifer remediation: important chemical properties and guidance on choosing the appropriate technique. EPA/540/S-97/ 502 Robert S [R]. Kerr Environmental Research Laboratory, 1997.

(收稿日期 2011-05-18)

(编辑 李娟)

[1] 方玮宁. MTBE 好氧分解之可行性研究[D]. 台湾:国立